

## ORIGINAL ARTICLE

# **Radiochemical Evaluation of New $^{99m}$ Tc-labelled Bombesin Derivatives with Tripeptidic (Ser- Ser - Ser) and (Gly-Gly-Gly) Spacer for Targeting GRP Receptor Positive-tumors**

Nourollah Sadeghzadeh<sup>1</sup>,  
Hadi Pishsaraie<sup>2</sup>,  
Yaser Ghasemi<sup>3</sup>,  
Iman Emrarian<sup>4</sup>

<sup>1</sup> Assistant Professor, Department of Radiopharmacy, Faculty of Pharmacy, Mazandaran University of Medical Sciences, Sari, Iran

<sup>2</sup> Pharmacy Student, Faculty of Pharmacy, Student Research Committee, Mazandaran University of Medical Sciences, Sari, Iran

<sup>3</sup> Pharmacy Student, Pardis unit Ramsar, Student Research Committee, Mazandaran University of Medical Sciences, Ramsar, Iran

<sup>4</sup> PhD Student in Radiopharmacy, Faculty of Pharmacy, Student Research Committee, Mazandaran University of Medical Sciences, Sari, Iran

(Received July 13, 2015 Accepted August 24, 2015)

### **Abstract**

**Background and purpose:** Bombesin shows very high-affinity for the Gasterin releasing peptide (GRP) receptors which are over expressed in different human tumors such as breast and prostate. The aim of this study was to identify a new bombesin derivative labeled with  $^{99m}$ Tc via HYNIC that might be used as a noninvasive tool for diagnosis of GRP receptor expressing tumors.

**Materials and methods:** Prepared bombesin derivatives were radiolabeled with  $^{99m}$ Tc at 100 °C for 10 min by exchange method and radiochemical analysis was performed using ITLC and HPLC methods. The stability of radiopeptide was checked in the presence of human serum at 37 °C and saline for up to 24 h.

**Results:**  $[^{99m}\text{Tc-EDDA/tricin/HYNIC-(Ser)}_3\text{-D-Phe}^{13}\text{]BN(7-14)}$  and  $[^{99m}\text{Tc-EDDA/tricin/HYNIC-(Gly)}_3\text{-D-Phe}^{13}\text{]BN(7-14)}$  were obtained with radiochemical purities of >95%. Results of in-vitro studies demonstrated a high stability in serum and saline.

**Conclusion:** Radiolabeling of this novel conjugates with  $^{99m}$ Tc were easily performed using exchange labeling. The prepared  $^{99m}$ Tc-HYNIC-BN conjugates demonstrated some potential as site-directed diagnostic radiopharmaceuticals. Therefore, more in vivo studies are required.

**Keywords:**  $^{99m}\text{Tc}$ , GRP, Bombesin, radiopeptide, tumor, HYNIC

J Mazandaran Univ Med Sci 2015; 25(129): 70-80 (Persian).

# ارزیابی رادیوشیمیایی مشتقات جدید از بومبزین نشاندار شده با تکنسیم- $99\text{mTc}$ با فضادهنده تری سرین و تری گلایسین برای هدف قرار دادن تومورهای دارای گیرنده GRP

نورالله صادق زاده<sup>۱</sup>

هادی پیش سرابی<sup>۲</sup>

یاسر قاسمی<sup>۳</sup>

ایمان امراریان<sup>۴</sup>

## چکیده

**سابقه و هدف:** بومبزین تمایل بسیار زیادی به گیرنده‌های GRP نشان می‌دهد که در تومورهای انسانی مختلف از قبیل پروستات و سینه به میزان بالا بیان می‌شود. هدف از این مطالعه شناسایی مشتق جدیدی از بومبزین نشاندار با  $^{99\text{m}}\text{Tc}$  از طریق HYNIC می‌باشد که ممکن است به عنوان ابزار غیرتهاجمی برای تشخیص تومورهای بیان کننده GRP استفاده شود.

**مواد و روش‌ها:** در این مطالعه تجربی، مشتقات بومبزین آماده شده با  $^{99\text{m}}\text{Tc}$  در ۱۰۰ درجه سانتی گراد به مدت ۱۰ دقیقه به روش تبادلی نشان دار شد و آنالیز رادیوشیمیایی به وسیله TLC و HPLC انجام شد. پایداری رادیوپتید در حضور سرم انسانی در دمای ۳۷ درجه سانتی گراد و سالین تا ۲۴ ساعت بررسی شد.

**یافته‌ها:** [ $^{99\text{m}}\text{Tc}$ -EDDA/tricin/HYNIC-(Gly)<sub>3</sub>-D-Phe<sup>13</sup>]BN (7-14) و [ $^{99\text{m}}\text{Tc}$ -EDDA/tricin/HYNIC-(Ser)<sub>3</sub>-D-Phe<sup>13</sup>]BN (7-14) با خلوص رادیوشیمیایی بالای ۹۵ درصد به دست آمد. نتایج از مطالعه برون تنی، پایداری بالا در سرم انسانی و سالین را نشان دادند.

**استنتاج:** نشاندارسازی کونزوگه‌های جدید با  $^{99\text{m}}\text{Tc}$  به آسانی با استفاده از روش نشاندار سازی تبادلی انجام شد. کونزوگه‌های پیتیدی نشاندار با  $^{99\text{m}}\text{Tc}$  برخی پتانسیل‌های رادیوداروهای تشخیصی را دارند و مطالعات درون تنی ضروری است.

**واژه‌های کلیدی:** GRP، بومبزین، رادیوپتید، تومور، HYNIC

## مقدمه

پیتیدها با رادیوایزوتوپ‌های مناسب می‌توانند برای تشخیص زودهنگام از طریق تصویربرداری و درمان تومورها استفاده شوند. یکی از مهم‌ترین پیتیدهای امیدبخش برای تصویربرداری و درمان تومورها، بومبزین (BN) است.

نشاندارسازی پیتیدها به دلیل کاربردشان در توسعه رادیوداروهای هدفمند مورد توجه زیادی می‌باشد. گیرنده‌های پیتیدی در انواعی از سلول‌های سرطانی انسانی با پتانسیل مولکولی هدف بیان می‌شود. نشاندارسازی

E-mail: nourollahsadeghzadeh

مؤلف مسئول: نورالله صادق زاده - ساری: کیلومتر ۱۸ جاده فرح آباد، مجتمع دانشگاهی پیامبر اعظم، دانشکده داروسازی

۱. استادیار، گروه داروسازی هسته ای، دانشکده داروسازی، دانشگاه علوم پزشکی مازندران، ساری، ایران

۲. دانشجوی دکتری داروسازی، دانشکده داروسازی، کمیته تحقیقات دانشجویی، دانشگاه علوم پزشکی مازندران، ساری، ایران

۳. دانشجوی دکتری داروسازی، واحد پردیس خودگردان رامسر، کمیته تحقیقات دانشجویی، دانشگاه علوم پزشکی مازندران، رامسر، ایران

۴. دانشجوی دکتری تخصصی داروسازی هسته ای، دانشکده داروسازی، کمیته تحقیقات دانشجویی، دانشگاه علوم پزشکی مازندران، ساری، ایران

۵. تاریخ دریافت: ۱۳۹۴/۴/۲۲ تاریخ تصویب: ۱۳۹۴/۵/۳ تاریخ ارجاع جهت اصلاحات: ۱۳۹۴/۶/۲

به عنوان لیگاند شلات کننده دو منظوره در طراحی و توسعه رادیودارو مورد توجه زیاد می باشد (۱۰، ۱۱، ۱۸، ۱۴). از میان مشتقات بومبزین مطالعه شده می توان با توجه به ساختار، دونوع تقسیم بندی انجام داد. اول مشتقانی هستند که اسید آمینه موقعیت ۷ تا ۱۴ را دارند (BN-۷-۱۴)، دوم مشتقان بومبزین (۱-۱۴) BN هستند (BN-۱۷-۲۰). به طور کلی استفاده از فضادهنده یکی از مهم ترین طرح های پیشنهادی برای طراحی مشتقات جدید بومبزین می باشد. فضادهنده از امکان اثر بخش نشاندار شده  $^{99m}\text{Tc}$ -BFCA به ناحیه  $^{99m}\text{Tc}$ -BFCA- $\text{Lys}^3$ -bombesin می شود. علاوه بر این فضادهنده می تواند به عنوان اصلاح کننده خواص فارماکوکنٹیک از بیومولکول شود. انواعی از فضادهندها شامل اسیدهای آمینه استفاده شده است تا بتوانند تجمع رادیواکتیو در ناحیه شکم را کاهش دهند و مسیر دفع را کلیوی کنند. تجمع اکتیویته در ناحیه شکم به خاطر عوارض جانبی برای بیمار و کاهش نسبت اکتیویته تومور به زمینه، استفاده بالینی از رادیوپیتید را دچار مشکل می کند (۹، ۸، ۵، ۲۱، ۲۲، ۱۴).

برای  $^{99m}\text{Tc}$ -EDDA/HYNIC-( $\text{Lys}^3$ )-bombesin هدف قراردادن تومورهای دارای گیرنده GRP در مدل حیوانی و انسانی مطالعه شد (۲۳، ۲۴). با جایگزینی D-Phe در موقعیت سیزده به جای لوسین می تواند موجب بهبود تمایل و کاهش متابویسم آنزیمی گردد (۲۵) و از طرفی دو اسید آمینه سرین ( $\text{Ser}_3$ ) و گلایسین ( $\text{Gly}_3$ ) با توجه به حلالیت خوب در آب و یونی نبودن و تاثیر آن در عدم جذب توبولی به عنوان فضادهنده، می تواند موجب بهبود تمایل و ویژگی های فارماکوکنٹیک شود (۸، ۵).

هدف از این مطالعه آماده سازی و ارزیابی رادیوشیمیابی و پایداری مشتق جدیدی از بومبزین (۱۴-۷) کوتزو گه شده با -۳- کربوکسیلیک اسید -۶- هیدارزینو پیریدین -۳- بود.

$^{99m}\text{Tc}$ -EDDA/tricin/HYNIC-( $\text{Ser}_3$ )-D-Phe $^{13}\text{I}$ ]BN (7-14) و  $^{99m}\text{Tc}$ -EDDA/tricin/HYNIC-( $\text{Gly}_3$ )-D- Phe $^{13}\text{I}$ ]BN (7-14)

است. بومبزین تمایل بالا به گیرنده های GRP (Gastrin-releasing peptide) دارد. گیرنده های GRP در سرطان های انسانی همچون پروستات، سینه و ریه به میزان بالا بیان می شود (۷-۱). بومبزین پایداری پایین در شرایط درون تنی (in vivo) و تجمع در ناحیه شکم دارد و از طرفی دفع از ناحیه کبدی-صفراوی دارد. به همین دلیل تلاش های زیادی برای طراحی و توسعه مشتقات بومبزین جهت افزایش پایداری با بهبود هدف قرار دادن تومور و ویژگی های فارماکوکنٹیک مناسب انجام شده است. بهینه سازی با شلات کننده ها مختلف، معرفی و جایگزینی اسیدهای آمینه و استفاده از اتصال دهنده یا فضادهنده انجام می شود. همه این عوامل روی اتصال به گیرنده GRP و خواص فارماکوکنٹیک موثر می باشند، بنابراین مشتق جدیدی از بومبزین ممکن است نسبت به بومبزین برتری داشته باشند. تاکنون کارهای انجام شده نتوانسته مشتق جدیدی از بومبزین معرفی کند که هم اتصال به گیرنده GRP مناسب و هم دفع کلیوی مناسب داشته باشد، بنابراین مشتقات جدیدی از بومبزین ممکن است نسبت به بومبزین و مشتقات قبلی برتری داشته باشند (۵، ۲-۸). آزمایشات پری کلینیکال و کلینیکال برای چندین پیتید نشاندار شده با  $^{99m}\text{Tc}$ ، جهت شناسایی سرطان انجام شدند.  $^{99m}\text{Tc}$  به دلیل انرژی (140 kev) و نیمه عمر شش ساعت، دسترسی آسان از طریق سیستم ژنراتور  $^{99m}\text{Tc}$ -MO $^{99m}\text{Tc}$  و ویژگی های رادیوشیمیابی برای نشاندار سازی مولکول هایی که تومور را هدف قرار می دهند، از جمله مشتقات بومبزین مناسب می باشد (۱۰-۱۵). روش های گونا گونی برای نشاندار سازی مشتقات بومبزین با  $^{99m}\text{Tc}$  به کار رفته است که مهم ترین آن استفاده از گروه های شلات کننده دو منظوره BFCA (Bifunctional chelator agent) از جمله DTPA، HYNIC یا اتصال دهنده می باشد. علاقه قابل توجهی برای تحقیق در مورد کوتزو گه های جدید برای توسعه پایداری درون تنی رادیوداروهای پیتیدی با  $^{99m}\text{Tc}$  وجود دارد و HYNIC

## مواد و روش ها

### مواد و دستگاه

سیلیکاژل ۶۰ ساخت کارخانه مرک و با ابعاد  $10 \times 10 \times 1/5$  سانتی متر مربع و با استفاده از ۳ حلال مختلف برای BNFS3 و BNFG3 نشاندار انجام شد. برای تعیین میزان پر تکنات آزاد ( $^{99m}\text{TcO}_4^-$ ) از حلال ۲- بوتانون استفاده شد که پر تکنات آزاد در این حلال دارای Rf برابر ۱ بوده و پیتید نشان دار، تکنسیوم کلوئید ( $^{99m}\text{TcO}_2$ ) و تکنسیوم کولیگاند آزاد همگی دارای Rf برابر صفر هستند. جهت تعیین پر تکنات آزاد همراه با تکنسیوم کولیگاند آزاد که به پیتید باند نشده است، از حلال ۱/۱ مولار سدیم سیترات با pH برابر ۵ استفاده گردید که پیتید نشان دار و تکنسیوم کلوئید دارای Rf برابر صفر و پر تکنات آزاد همراه با تکنسیوم کولیگاند آزاد دارای Rf برابر ۱ می باشد. برای تعیین میزان تکنسیوم کلوئید ایجاد شده از حلال متانول و آمونیوم استات ۱ مولار به نسبت ۱ به ۱ استفاده شد که در این حلال تکنسیوم کلوئید دارای Rf برابر صفر و پیتید نشان دار به پیتید همگی آزاد و تکنسیوم کولیگاند باند نشده به پیتید همگی دارای Rf برابر ۱ می باشد، اما در مورد BNFG3 نشاندار، برای تعیین میزان تکنسیوم کلوئید ایجاد شده از حلال استونیتریل ۵۰ درصد با آب با Rf برابر صفر به جای حلال متانول و آمونیوم استات ۱ مولار استفاده شد. رادیواکتیویته توسط TLC scanner اندازه گیری شد. کروماتو گرافی مایع با کارائی بالا (RP-HPLC) برای کونژو گه های پیتیدی با سیستم گرادیانی شامل تری فلوروراستیک اسید (EDDA)، تری فلوروراستیک اسید از شرکت Fluka و ۲- بوتانون، سدیم سیترات، آمونیوم استات، متانول، استونیتریل و کلر و قلع از شرکت Merk تهیه شد. سدیم پر تکنات از ژنراتور تهیه شده توسط سازمان انرژی اتمی ایران بدست آمد. اکتیویته Capintec CRC-127R توسط دوز کالیبراتور مدل ساخت کشور آمریکا اندازه گیری شد. ارزیابی رادیوشیمیایی با استفاده از TLC توسط دستگاه Lablogic mini-scan TLC scanner انگلستان و RP-HPLC مدل Knauer ساخت کشور آلمان مجهر به دستگار BioScan-INC مدل B-FC-3200 ساخت کشور آمریکا انجام شد. ستون ۲۵۰/۴.۶ Knauer Earospher 100 ۵C18 استفاده شد.

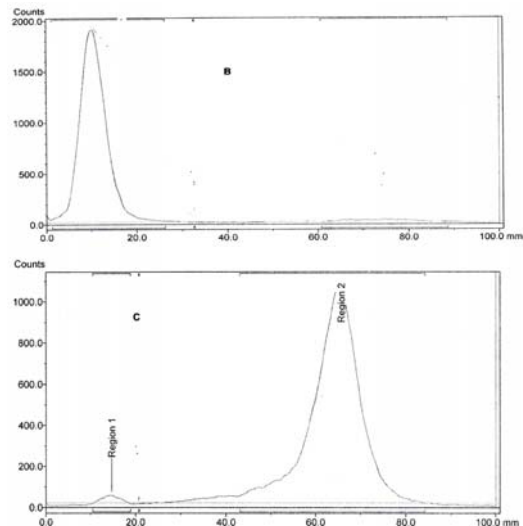
### نشاندار سازی با تکنسیم- $99m$

به محلول حاصل از ۴۰ میکرو گرم HYNIC-(Ser)<sub>3</sub>-D-Phe<sup>13</sup>]BN(7-14) با نام اختصاری HYNIC-(Gly)<sub>3</sub>-D-Phe<sup>13</sup>]BN (7-14) و BNFS3 با نام اختصاری BNFG3، ۱۵ میلی گرم تریسین و ۵ میلی گرم EDDA در ۰/۵ میلی لیتر آب، ۴۰ میکرو گرم SnCl<sub>2</sub> (0.1 M HCl) ۲ mg/ml SnCl<sub>2</sub>, 2H<sub>2</sub>O در ۰/۵ میلی لیتر از ۱۸۵-۳۷۰ مگا بکرل اضافه کردیم. پس از اضافه کردن ۰/۵ میلی لیتر سالین به این محلول، پر تکنات سدیم در ۰/۵ میلی لیتر سالین به این محلول، به مدت ۱۰ دقیقه در دمای ۱۰۰ درجه سانتی گراد حرارت داده شد.

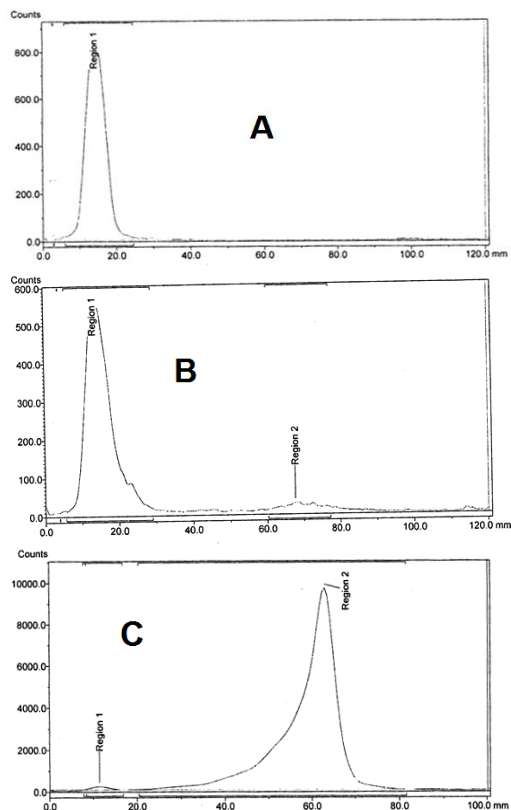
پایداری در سرم انسانی  
به ۱ میلی لیتر از سرم انسانی، ۱۰۰ میکرو لیتر از پیتید

### ارزیابی خلوص رادیوشیمیایی

کروماتو گرافی لایه نازک بر روی نوارهای



تصویر شماره ۱: نمایش  $[^{99m}\text{Tc}-\text{EDDA}/\text{tricin}/\text{HYNIC}$ -TLC از (Ser)<sub>3</sub>-D-Phe<sup>13</sup>]BN(7-14) (A)، تکنسیوم کولیکاندآزاد با سدیم سیترات ۰/۱ مولار با pH برابر ۵ (B) و تکنسیوم کلوئید با متانول و آمونیوم استات ۱ مولار به نسبت ۱ به ۱ (C).



تصویر شماره ۲: نمایش  $[^{99m}\text{Tc}-\text{EDDA}/\text{tricin}/\text{HYNIC}$ -TLC (Gly)<sub>3</sub>-D-Phe<sup>13</sup>]BN (7-14) (A)، تکنسیوم کولیکاندآزاد با سدیم سیترات ۰/۱ مولار با pH برابر ۵ (B) و تکنسیوم کلوئید با استونتیریل ۰/۵ درصد (C).

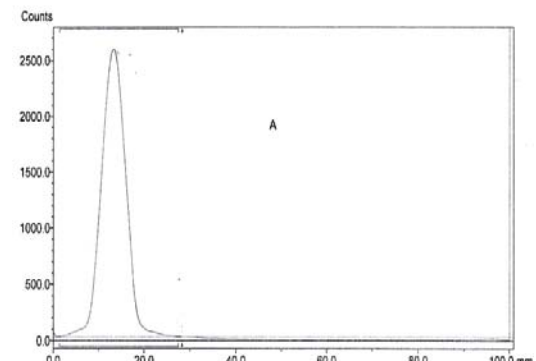
نشاندار شده با تکنسیوم اضافه شد و بعد از ۱ و ۴ و ۲۴ ساعت انکوباسیون در دمای ۳۷ درجه سانتی گراد، ۱۰۰ میکرولیتر از آن برداشته و ۲۰۰ میکرولیتر اتانول برای رسوب دادن پروتئین های سرم به آن اضافه شد. نمونه به مدت ۱۵ دقیقه با سرعت ۳۰۰۰ rpm سانتریفیوژ شد و محلول رویی به وسیله فیلتری با منافذ ۰/۲۰ میکرومتر فیلتر شد و با HPLC مورد ارزیابی قرار گرفت (۲۶).

#### پایداری در سالین

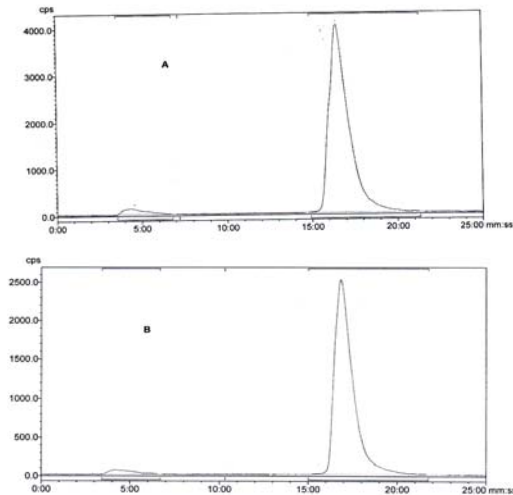
به ۱ میلی لیتر نرمال سالین، ۱۰۰ میکرولیتر از پیتید نشاندار شده با تکنسیوم اضافه شده و بعد از ۱، ۴ و ۲۴ ساعت، میزان پایداری به وسیله TLC به دست آمد.

#### یافته ها

راندمان رادیوشیمیایی کونژو گه های پیتیدی BNFS3 و BNFG3 با تکنسیم-۹۹m تحت شرایط توصیف شده، بالای ۹۵ درصد به دست آمد. حضور تکنسیوم کولیگاند آزاد، تکنسیوم کلوئید و پرتکننات آزاد به وسیله TLC ارزیابی شد و در تصویر شماره ۱ و ۲ نشان داده شده است و نتایج در جدول شماره ۱ قبل مشاهده است. تفاوت خیلی کمی در مقدار تکنسیوم کولیگاندآزاد، تکنسیوم کلوئید، پرتکننات آزاد و کونژو گه های نشاندار شده با لیگاند کمکی تریسین / EDDA مشاهده شد. اما در مورد BNFS3 تکنسیوم کولیگاندآزاد کمتر ولی تکنسیوم کلوئید بیشتر مشاهده شد.



خلوص رادیوشیمیایی کونزوگه های جدید، هم چنین به وسیله RP-HPLC ارزیابی شد. کروماتوگراف برای کونزوگه های پیتیدی تولید شده از طریق جایگزینی EDDA به جای تریسین در تصویر شماره ۳ نشان داده شد.



تصویر شماره ۳: نمایش کروماتوگراف RP-HPLC کونزوگه های پیتیدی نشاندار A:  $[^{99m}\text{Tc}]$ -EDDA/tricin/HYNIC-C-(Ser)<sub>3</sub>-D-Phe<sup>13</sup>]BN (7-14)B:  $[^{99m}\text{Tc}]$ -EDDA/tricin/HYNIC-(Gly)<sub>3</sub>-D-Phe<sup>13</sup>]BN (7-14)

کروماتوگرام های یک پیک اصلی برای  $^{99m}\text{Tc}$ -BNFS3 و  $^{99m}\text{Tc}$ -BNFG3 به ترتیب با زمان بازداری ۱۶/۲۸ و ۱۶/۴۸ دقیقه نشان می دهد. کونزوگه های پیتیدی نشاندار، پایداری بروون تنی خیلی خوبی داشتند. برای مثال راندمان پایداری در سالین برای هر دو کونزوگه های نشاندار در ۲۴ ساعت بالای ۹۰ درصد بود. کونزوگه های  $^{99m}\text{Tc}$ -BNFG3 و  $^{99m}\text{Tc}$ -BNFS3 در سرم انسانی بعد از ۴ ساعت پایدار بودند که راندمان کمپلکس دست نخورده به ترتیب ۹۲/۳۰ و ۹۶/۴۲ درصد بود. میزان اکتیویته متصل مانده به پیتید در زمان های ۱، ۴ و ۲۴ ساعت در سرم انسانی برای  $^{99m}\text{Tc}$ -BNFS3 به ترتیب ۵۵/۴ و برای  $^{99m}\text{Tc}$ -BNFG3 به ترتیب ۶۰، ۶۲ و ۶۱ درصد بود.

## بحث

طراحی و توسعه رادیوداروهای پیتیدی برای

جدول شماره ۱: ارزیابی خلوص رادیوشیمیایی کونزوگه های پیتیدی با تکسیم-۹۹m با لیگاند کمکی تریسین/EDDA

نام کونزوگه پیتیدی	پر تکنات	نکسیوم کولیکاند آزاد	نکسیوم کولیکاند آزاد
BNFS3	دیده نشد	۱/۲۹ +۰/۱	۲/۳۷ +۰/۳
BNFG3	دیده نشد	۰/۷۳ +۰/۰۶	۴/۲۵ +۰/۰۲

به منظور بهینه سازی راندمان رادیوشیمیایی لیگاند، غلظت مختلف در محدوده ۱۰ تا ۵۰ میکرو گرم و میکرو گرم و کلرید قلع در محدوده ۲۰ تا ۸۰ میکرو گرم و تریسین با نسبت ۳ به ۱ و ۴ به ۱ با غلظت تریسین در محدوده ۰/۱ تا ۲۰ میلی گرم، طبق پروتکل نشاندار سازی استفاده شد و نتایج در جدول شماره ۳، ۲، ۱ و ۴ قابل مشاهده است. در این تحقیق راندمان نشاندار سازی، زمانی که کونزوگه به میزان ۴۰ و ۵۰ میکرو گرم استفاده شد، تفاوتی وجود نداشت. علاوه بر این غلظت بالای ۴۰ میکرو گرم راندمان نشاندار سازی، کاهش نشان داد.

جدول شماره ۲: اثر کونزوگه پیتیدی روی راندمان نشاندار سازی

کونزوگه پیتیدی (میکرو گرم)	خلوص رادیوشیمیایی
۱۰	درصد >۹۰
۲۰	درصد >۹۰
۴۰	درصد >۹۵
۵۰	درصد >۹۲
۱۲۰	درصد >۹۰

جدول شماره ۳: اثر کولیگاند EDDA/تریسین روی راندمان نشاندار سازی

خلوص رادیوشیمیایی/EDDA/تریسین (میلی گرم)	خلوص رادیوشیمیایی
۰/۱ به ۰/۰۳	درصد >۹۰
۰/۵ به ۰/۱۷	درصد >۹۰
۱ به ۰/۳۳	درصد >۹۰
۴ به ۱/۳۳	درصد >۹۰
۱۵ به ۰/۵	درصد >۹۵

جدول شماره ۴: اثر کلرید قلع روی راندمان نشاندار سازی

کلرید قلع (میکرو گرم)	خلوص رادیوشیمیایی
۲۰	درصد >۹۰
۳۰	درصد >۹۰
۴۰	درصد >۹۵
۶۰	درصد >۹۲
۸۰	درصد >۹۰

EDDA به عنوان (لیگاند تبادلی) برای به دست آوردن راندمان نشاندار سازی در زمان کوتاه را بررسی کردیم تا کونژوگه  $^{99m}\text{Tc}$ -BNFS3 و  $^{99m}\text{Tc}$ -BNFG3 پایدار در محیط آزمایشگاهی و طبیعی را به دست آوریم. تریسین در سیستم بافری بهترین راندمان نشاندار سازی در دمای اتاق را می‌دهد، اما گزارش شده است که تریسین به عنوان لیگاند کمکی، کمپلکس نشاندار با  $^{99m}\text{Tc}$  ناپایداری ایجاد می‌کند. به ویژه در محیط‌های رقیق که به دلیل روش‌های پیوند مختلف بخش هیدرازین از HYNIC با تریسین می‌باشد و باعث کارائی ضعیف در محیط درون تنی می‌شود. برای بیشتر این مطالعات، غلظت تریسین مسئله مهم و تاثیرگذاری روی خلوص رادیوشهیمیابی محصول نهایی می‌باشد. در این مطالعات غلظت تریسین متغیر بوده است، برای مثال از ۱۵ تا ۵۰ mg تریسین جهت نشاندار سازی استفاده شده است (۲۸، ۲۷، ۲۵، ۶).

Liu و Edwards در سال ۱۹۹۹ گزارش کردند که استفاده از تریسین به عنوان لیگاند کمکی موجب ناپایداری کمپلکس‌های تکسیم و حضور از ایزومرهای مختلف کمپلکس در محلول می‌باشد. به علاوه گزارش کردند که استفاده از غلظت پایین تریسین (کمتر از ۱۰ mg در میلی لیتر) منجر به تشکیل مقدار قابل توجهی کلوزید- $^{99m}\text{Tc}$  می‌شود (۲۹). این مشاهدات همچنین در سال ۲۰۰۳ توسط SU و همکارانش گزارش شد. در این مطالعه آنها گزارش کردند که کاهش مقدار تریسین در تولید  $^{99m}\text{Tc}$ -HYNIC-RGD منجر به تشکیل ۱۰-۱۵ درصد  $^{99m}\text{Tco}_4$  در این مطالعه ۳-۵ درصد بود (۳۰) و در سال ۲۰۰۵، Faintuch و همکارانش با غلظت ۴۰ میلی گرم تریسین در میلی لیتر در pH=۷ در یک سیستم بافری برای دو مشتق بومبزین کونژوگه شده با HYNIC راندمان نشاندار سازی بالای ۹۰ درصد به وسیله ITLC به دست آورند. کنترل کیفی به وسیله ITLC راه موثر برای تعیین حضور پرتکنکتات- $^{99m}$  و  $^{99m}\text{Tco}_2$  در این مطالعه بود، اما این روش اگر فرم ایزومری از کونژوگه پیتیدی نشاندار با  $^{99m}\text{Tc}$  وجود

تشخیص زودهنگام سرطان انسانی چندین دهه است که تحقیق می‌شود. گیرندهای GRP، هدف امیدوار کننده‌ای برای مشتقان نشاندار شده بومبزین هستند. طراحی و توسعه سیستم لیگاند اختصاصی که به آسانی به یک عامل هدفمند کونژوگه گردد و در راندمان بالا و زمان کوتاه با  $^{99m}\text{Tc}$  نشاندار شود، در حال تحقیق می‌باشد. علاوه بر این ضروری است که رادیونوکلئید در کمپلکس نشاندار تحت شرایط درون تنی در حضور پروتئین خون مانند ترانسفرین پایدار باشد (۲۷). پیتیدهای کوچک با توجه به خصوصیات ذاتی از قبیل وزن مولکولی کم، حذف خونی سریع و نسبت تومور به زمینه بالا در زمان‌های کوتاه دارند اما مشکل اصلی در استفاده از آنها به عنوان رادیوداروهای پیتیدی، در متابولیزه شدن سریع آنها در پلاسمما توسط پیتیداز طبیعی بدن و مسیر دفع می‌باشد. توالي پیتیدها روی جذب تومور، پایداری درون تنی، ویژگی‌های فارماکوکنیک، قابل اتصال به گیرندها و کنوردیناس از  $^{99m}\text{Tc}$  به وسیله کونژوگه پیتیدها با لیگاند خاص تاثیر دارد (۲۸، ۲۵، ۱۳، ۱۱). هیدرازینونیکوتینیک اسید برای نشاندار سازی پیتیدها با  $^{99m}\text{Tc}$  از جمله بومبزین به کار رفته است. از آنجایی که HYNIC به عنوان عامل شلات کننده دو منظوره  $^{99m}\text{Tc}$  (BFCA)، فقط یک یا دو ظرفیت کنوردینانسی را اشغال می‌کند، به همین دلیل استفاده از لیگاندهای کمکی ضروری است و استفاده از لیگاندهای کمکی اجازه تغییر در هیدروفیلیستیه و فارماکنیک کونژوگه‌های پیتیدی نشاندار شده با  $^{99m}\text{Tc}$  را می‌دهد. اگر کونژوگه پیتیدی با HYNIC نشاندار شده با  $^{99m}\text{Tc}$  بیشتر پایدار باشد، پس ممکن است منجر به بهبود هدف گیری تومور و ماندگاری در بدن شود. از طرفی تغییر در کونفیگارسیون، احتمالاً کارائی رادیوداروها را در شرایط درون تنی کاهش می‌دهد. بیشترین لیگاندهای کمکی استفاده شده، تریسین و تریسین/EDDA به عنوان لیگاند تبادلی می‌باشد (۲۸، ۲۷، ۲۵، ۲۲، ۶). در این تحقیق کونژوگه پیتیدی BNFG3 و BNFS3 با استفاده از لیگاند کمکی تریسین/

لیگاند می توانیم EDDA را با حرارت جایگزین تریسین کرده و به نشان دار سازی بالای ۹۵ درصد دسترسی پیدا کنیم<sup>(۳۵)</sup>. با استفاده از فرمولاسیون ساده مطابق روش اجرای استفاده همزمان از تریسین و EDDA و حرارت ۱۰۰ درجه سانتی گراد، می توانیم در یک مرحله هم نشاندار سازی با تریسین و هم جانشینی با EDDA را داشته باشیم که نهایتاً باعث به دست آمدن فرمولاسیون ساده یک مرحله‌ای، پایدار و بدون اشکال ایزومری  $^{99m}\text{Tc}$  کوتزوگه BNFS3 و BNFG3 می‌گردد. نظر به این که نشان داده شد که مشتقات بومبزین (5-(4-BB)-HYNIC-D-Tyr<sup>6</sup>-D-Tyr<sup>5</sup>-D-Phe<sup>13</sup>) و (D-Tyr<sup>8</sup>BB(6-14) Trp<sup>8</sup>BB(6-14) Pتپانسیل تصویربرداری هدفمند از تومور را دارند<sup>(۳۶)</sup>، بنابراین مطالعات قبل را با یک مشتق جدید بومبزین نشاندار شده با توالی ۷-۱۴ بومبزین، -D-phe<sup>13</sup> را به جای  $\text{Leu}^{13}$ ،  $\text{Leu}^{13}$ ،  $\text{Gly}^{13}$  را به عنوان فضادهنده برای بهبود الگوی دفع از طریق کلیه، بهبود تمایل به اتصال و کاهش متابولیسم آنزیمی ادامه داده شد. با توجه به زمان بازداری کوتزوگه  $^{99m}\text{Tc}$ -BNFS3 و  $^{99m}\text{Tc}$ -BNFG3 هر دو تقریباً به یک اندازه هیدروفیل هستند. ترکیبات نشاندار شده با لیگاند تبادلی تریسین/EDDA شبیه مطالعات قبلی پایداری بالا در سالین و سرم انسانی داشته‌اند. دلیل پایداری آن در سرم انسانی می‌تواند جایگزینی D-Phe در موقعیت سیزده به جای لوسین باشد که می‌تواند موجب بهبود تمایل و کاهش متابولیسم آنزیمی گردد<sup>(۲۵)</sup>. اما میزان اکتیویته متصل مانده به پیتیدها در سرم انسانی بعد از ۲۴ ساعت کمتر از ۶۰ درصد به دست آمد که در مطالعات قبلی میزان اکتیویته متصل مانده به پیتید کمتر از ۶۶ درصد گزارش شد<sup>(۲۳)</sup> که دلیل آن می‌تواند جایگزینی یک EDDA به جای یک تریسین باشد که در کمپلکس به شکل تریسین/EDDA ظاهر می‌شود<sup>(۳۷)</sup>.

در پایان می‌توان نتیجه گیری کرد که با توجه به این که کوتزوگه‌های پیتیدی در مطالعه ما در زمان کوتاه و با راندمان بالا به آسانی نشاندار شده، می‌تواند در

داشته باشد، به روشنی نشان نمی‌دهد. در این مطالعه گزارش کردند که گونه‌های کوچکی از ایزومرها را مشاهده کردند اما در مقاله شان نشان ندادند<sup>(۲۷)</sup>. Liu و HPLC همکارانش در سال ۲۰۰۲ گزارش کردند که آنالیز HYNIC از کوتزوگه با  $^{99m}\text{Tc}$  نشاندار با استونیتریل به عنوان حلال شستشو ممکن است کمپلکس در لیگاند تریسین/استونیتریل در روی ستون تولید کند<sup>(۳۱)</sup>.

در این مطالعه جهت فائق شدن بر مشکل عدم پایداری، لیگاند همراه دیگری همچون EDDA مورد بررسی قرار گرفت. در سال ۲۰۰۰ Decristoforo و همکاران از تریسین و از EDDA به عنوان لیگاندها کمکی در نشاندارسازی  $\text{Tco}^3\text{-octreotide}$  استفاده کردند<sup>(۳۲)</sup>. گزارش‌های بالینی توسط Plachcinska و همکاران در سال ۲۰۰۳ و Gabriel همکاران در سال ۲۰۰۴ نشان دادند که استفاده از هر دو لیگاند با هم، برای تولید  $^{99m}\text{Tc-Hynic-Toc}$  نتایج خوبی می‌دهد. Plachcinska در سال ۲۰۰۴ در سال Gabriel گزارش کردند سیستم لیگاند تبادلی در استفاده هم زمان از تریسین و EDDA در نشاندارسازی کوتزوگه پیتیدی با HYNIC بسیار سودبخش می‌باشد<sup>(۳۴,۳۳)</sup>. از مشتقات بومبزین و دیگر پیتیدها که با HYINC کوتزوگه شده و مورد استفاده بالینی قرار گرفته‌اند، از سیستم لیگاند تبادلی تریسین/EDDA استفاده شده است<sup>(۲۵)</sup>. در روش نشاندار سازی در مطالعه ما برای هر دو کوتزوگه راندمان نشاندارسازی در فرمولاسیون ساده سالین و آب بالای ۹۵ درصد به دست آمد که نتایج نشان داده اند EDDA به خاطر این که مولکولی مسطح بوده و کمپلکس آن با تکسیوم هم حالت مسطح داشته و اشکال ایزومری دیده نمی‌شود، بسیار پایدار بوده و قابل جایگزین شدن با عوامل اکسیژن و گوگرد و دارای الکترون آزاد در سرم خون نیست. مسطح بودن مولکول باعث می‌گردد که به راحتی وارد واکنش با EDDA تکسیوم نگردد و به تنهایی از درصد نشاندارسازی بالای برخوردار نیست و با استفاده از تکنیک تعویض

تشخیصی را دارند و مطالعات درون تنی در مدل‌های سرطان انسان ضروری است. این مطالعات در حال انجام هستند.

آماده‌سازی فرمولاسیون کیت برای اقدامات روتین در پزشکی هسته‌ای مطرح باشد. این ویژگی‌ها نشان می‌دهد که کونزروگهای پپتیدی، برخی پتانسیل‌های رادیوداروهای

## References

1. Mousavi SM, Gouya MM, Ramazani R, Davanlou M, Hajsadeghi N, Seddighi Z. Cancer incidence and mortality in Iran. *Ann Oncol* 2009; 20(3): 556-563.
2. Jemal A, Bray F, Center MM, Ferlay J, Ward E, Forman D. Global cancer statistics. *CA Cancer J Clin* 2011; 61(2): 69-90.
3. Dykes PW, Bradwell AR, Fairweather DS. Scanning for tumours with radiolabelled antibodies: a review. *J R Soc Med* 1983; 76(11): 957-960.
4. Goldenberg DM. Advancing role of radiolabeled antibodies in the therapy of cancer. *Cancer Immunol Immun* 2003; 52(5): 281-296.
5. Smith CJ, Volkert WA, Hoffman TJ. Radiolabeled peptide conjugates for targeting of the bombesin receptor superfamily subtypes. *Nucl Med Biol* 2005; 32(7): 733-740.
6. Okarvi SM. Peptidebased radiopharmaceuticals: Future tools for diagnostic imaging of cancers and other diseases. *Med Res Rev* 2004; 24(3): 357-397.
7. Okarvi SM. Peptide-based radiopharmaceuticals and cytotoxicconjugates: potential tools against cancer. *Cancer Treat Rev* 2008; 34(1): 13-26.
8. Smith CJ, Volkert W, Hoffman T. Gastrin releasing peptide (GRP) receptor targeted radiopharmaceuticals: a concise update. *Nucl Med Biol* 2003; 30(8): 861-868.
9. Reubi JC, Wenger S, Schmuckli-Maurer J, Schaer JC, Gugger M. Bombesin receptor subtypes in human cancers: detection with the universal radioligand (125) I-[D-TYR (6), beta-ALA (11), PHE (13), NLE (14)] bombesin (6-14). *Clin Cancer Res* 2002; 8(4): 1139-1146.
10. Mantey SA, Weber HC, Sainz E, Akeson M, Ryan R, Pradhan TK, et al. Discovery of a high affinity radioligand for the human orphan receptor,bombesinreceptor subtype 3,which demonstrates that it has a unique pharmacology compared with other mammalian bombesin receptors. *J Biol Chem* 1997; 272(4): 26062-26071.
11. Pradhan TK, Katsuno T, Taylor JE, Kim SH, Ryan RR, Mantey SA, et al. Identification of a unique ligand which has high affinity for all four bombesin receptor subtypes. *Euro J Pharmacol* 1998; 343(2): 275-287.
12. Zhang H, Chen J, Waldherr C, Hinni K, Waser B, Reubi JC, et al. Synthesis and evaluation of bombesin derivatives on the basis of pan-bombesin peptides labeled with indium-111, lutetium-177, and yttrium-90 for targeting bombesin receptor-expressing tumors. *Cancer Res* 2004; 64(18): 6707-6715.
13. Reubi JC. Peptide receptors as molecular targets for cancer diagnosis and therapy. *Endocr Rev* 2003; 24(4):389-427.
14. Baidoo KE, Lin KS, Zhan Y, Finley P, Scheffel U, Wagner HN Jr. Design, synthesis, and initial evaluation of high-affinity technetium bombesin analogues. *Bioconjug Chem* 1998; 9(2): 218-225.

15. Chen X, Park R, Hou Y, Tohme M, Shahinian AH, Bading JR, et al. microPET and autoradiographic imaging of GRP receptor expression with  $^{64}\text{Cu}$ -DOTA-[Lys3] bombesin in human prostate adenocarcinoma xenografts. *J Nucl Med* 2004; 45(8): 1390-1397.
16. Breeman WA, Hofland LJ, de Jong M, Bernard BF, Srinivasan A, Kwekkeboom DJ, et al. Evaluation of radiolabelled bombesin scintigraphy and radiotherapy. *Int J Cancer* 1999; 81(4): 658-665.
17. Zhang X, Cai W, Cao F, Schreibmann E, Wu Y, Wu JC, et al.  $^{18}\text{F}$ -labeled bombesin analogs for targeting GRP receptor-expressing prostate cancer. *J Nucl Med* 2006; 47(3): 492-501.
18. Parry JJ, Andrews R, Rogers BE. MicroPET imaging of breastcancer using radiolabeled bombesin analogs targeting the gastrin-releasing peptide receptor. *Breast cancer Res Treat* 2007; 101(2): 175-183.
19. Smith CJ, Sieckman GL, Owen NK, Hayes DL, Mazuru DG, Kannan R, et al. Radiochemical investigations of gastrin-releasing peptide receptor-specific [ $^{99}\text{mTc}$  (X)(CO) 3-Dpr-Ser-Ser-Ser-Gln-Trp-Ala-Val-Gly-His-Leu-Met-(NH<sub>2</sub>)] in PC-3, tumor-bearing, rodent models:syntheses, radiolabeling, and in vitro/in vivo studies where Dpr=2, 3-diaminopropionic acid and X= H<sub>2</sub>O or P (CH<sub>2</sub>OH) 3. *Cancer Res* 2003; 63(14): 4082-4088.
20. Hoffman TJ, Gali H, Smith CJ, Sieckman GL, Hayes DL, Owen NK, et al. Novel series of  $^{111}\text{In}$ -labeled bombesin analogs as potential radiopharmaceuticals for specific targeting of gastrin-releasing peptide receptors expressed on human prostate cancer cells. *J Nucl Med* 2003; 44(5): 823-831.
21. Guard S, Watling KJ, Howson W. Structure-activity requirements of bombesin for gastrin-releasing peptide-and neuromedin B-preferring bombesin receptors in rat brain. *Eur J Pharmacol* 1993; 240(2-3): 177-184.
22. Gali H, Hoffman TJ, Sieckman GL, Owen NK, Katti KV, Volkert WA. Synthesis, characterization, and labeling with  $^{99\text{m}}\text{Tc}/^{188}\text{Re}$  of peptide conjugates containing a dithia-bisphosphine chelating agent. *Bioconjug Chem* 2001; 12(3): 354-363.
23. Ferro-Flores G, Arteaga de Murphy C, Rodriguez-Cortes J, Pedraza-Lopez M, Ramirez-Iglesias MT. Preparation and evaluation of  $^{99\text{m}}\text{Tc}$ -EDDA/HYNIC-[Lys 3]-bombesin for imaging gastrin-releasingpeptide receptor-positive tumours. *Nucl Med Commun* 2006; 27(4): 371-376.
24. Santos-Cuevas CL, Ferro-Flores G, de Murphy CA, Pichardo-Romero PA. Targeted imaging of gastrin-releasingpeptide receptor With  $^{99\text{m}}\text{Tc}$ -EDDA/HYNIC-[Lys 3]-bombesin: biokinetics and dosimetry in women. *Nucl Med Commun* 2008; 29(8): 741-747.
25. Sadeghzadeh N, Erfani M, Omidi M. Evaluation of a new bombesin analogue labeled with  $^{99\text{m}}\text{Tc}$  as potential targeted tumor scintigraphic agent. *Res Mol Med* 2013; 1(3): 13-17.
26. Liolios C, Fragogeorgi E, Zikos C, Loudos G, Xanthopoulos S, Bouziotis P, et al. Structural modifications of  $^{99\text{m}}\text{Tc}$ -labelled bombesin-like peptides for optimizing pharmacokinetics in prostate tumor targeting. *Int J pharmaceutics* 2012; 430(1-2): 1-17.
27. Faintuch BL, Santos RLSR, Souza ALFM, Hoffman TJ, Greeley M, Smith CJ.  $^{99\text{m}}\text{Tc}$ -HYNIC-bombesin (7-14) NH<sub>2</sub>: Radiochemical evaluation with co-ligands EDDA (EDDA= ethylenediamine-N, N'- diacetic acid), tricine,

- and nicotinic acid. *Synthesis and Reactivity in Inorganic, Metal-Organic, and Nano-Metal Chemistry* 2005; 35: 43-51.
28. Thomas R, Chen J, Roudier MM, Vessella RL, Lantry LE, Nunn AD. In vitro binding evaluation of <sup>177</sup>Lu-AMBA, a novel <sup>177</sup>Lu-labeled GRP-R agonist for systemic radiotherapy in human tissues. *Clin Expl Metastasis* 2009; 26(2): 105-119.
29. Liu S, Edwards D S. <sup>99m</sup>Tc-Labeled Small Peptides as Diagnostic Radiopharmaceuticals. *Chem Rev* 1999; 99(9): 2235-2268.
30. Su ZF, He J, Ruskowski M, Hnatowich DJ. In Vitro Cell Studies of Technetium-<sup>99m</sup> Labeled RGD-HYNIC Peptide, a Comparison of Tricine and EDDA as Co-ligands. *Nucl Med Biol* 2003; 30(2): 141-149.
31. Liu G, Wescott C, Sato A, Wang Y, Liu N, Zhang YM, et al. Nitriles form Mixed-Coligand Complexes with <sup>99m</sup>Tc-HYNIC-Peptide. *Nucl Med Biol* 2002; 29(1): 107-113.
32. Dechristoforo C, Melendez-Alafort L, Sosabowski JK, Mather SJ. <sup>99m</sup>Tc-HYNIC-Tyr<sup>3</sup>-Octreotide for Imaging Somatostatin Receptor-Positive Tumors: Preclinical Evaluation and Comparison with <sup>111</sup>In-Octreotide. *J Nucl Med* 2000; 41(6): 1114-1119.
33. Plachcinska A, Mikolajczak R, Maecke HR, Miodkowska E, Kunert-Radek J, Michalski A, et al. Clinical Usefulness of <sup>99m</sup>Tc-EDDA/HYNIC-TOC Scintigraphy in Oncological Diagnostics: a Preliminary Communication. *Eur J Nucl Med* 2003; 30(10): 1402-1406.
34. Gabriel M, Froehlich F, Dechristoforo C, Ensinger C, Donnemiller E, von Guggenberg E, et al. <sup>99m</sup>Tc-EDDA/HYNIC-TOC and <sup>18</sup>F-FDG in Thyroid Cancer Patients with Negative <sup>131</sup>I Whole-Body Scans. *Eur J Nucl Med Mol Imaging* 2004; 31(3): 330-341.
35. Gandomkar M, Najafi R, Sadatebrahimi SE, Babaei MH. Preparation, formulation and quality control of one step kit <sup>99m</sup>Tc-EDDA/HYNIC-Tyr<sup>3</sup>-Octreotide as a peptide radiopharmaceutical for imaging somatostatin receptor positive tumors. *Iranian J Nucl Med* 2004; 12(2): 21-27 (Persian).
36. Sadeghzadeh N, Ahmadzadeh M, Erfani M. Evaluation of a new radiolabeled bombesin derivative with <sup>99m</sup>Tc as potential targeted tumor imaging agent. *J Radioanal Nucl Chem* 2012; 298(1): 287-293.
37. King R, Surfraz MBU, Finucane C, Biagini SCG, Blower PJ, Mater SJ. <sup>99m</sup>Tc-HYNIC-gastrin peptides: Assisted coordination of <sup>99m</sup>Tc by amino acid side chains results in improved performance both in vitro and in vivo. *J Nucle Med* 2009; 50(4): 591-598.